

РОССИЙСКАЯ АКАДЕМИЯ НАУК
СИБИРСКОЕ ОТДЕЛЕНИЕ

ЖУРНАЛ
СТРУКТУРНОЙ
ХИМИИ
НАУЧНЫЙ ЖУРНАЛ

Основан в 1960 г.

Выходит 8 раз в год

ТОМ 59

Февраль-март

№ 2, 2018

СОДЕРЖАНИЕ

ТЕОРИЯ СТРОЕНИЯ МОЛЕКУЛ И ХИМИЧЕСКОЙ СВЯЗИ

Жуков В.П., Шеин И.Р.

265

Структура и термодинамические характеристики примесных центров в оксиде кадмия, дopedированном литием: первоосновной PAW-подход

Ключевые слова: оксид кадмия, электронная структура, примесные центры, проводимость

Онижук Н.О., Пантелеимонов А.В., Холин Ю.В.,

Иванов В.В.

273

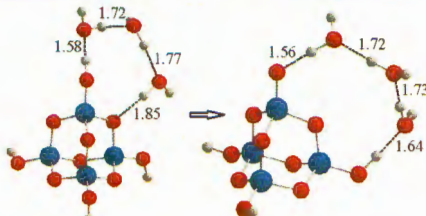
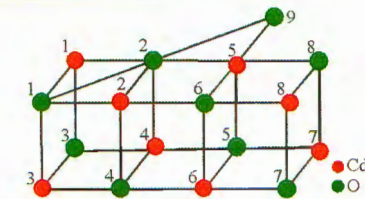
Квантово-химические оценки констант диссоциации силанольных групп кремниевых кислот

Ключевые слова: кремнеземы, pK_a , квантовая химия, теория функционала плотности (DFT), поляризационно-континуальная модель растворителя (PCM)

Грибов Л.А.

284

Вариационный метод решения общей задачи о колебательно-вращательных состояниях молекул



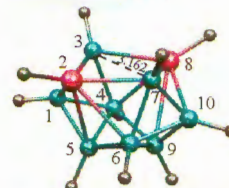
Ключевые слова: спектры молекул, колебательно-вращательные состояния, энергетическая матрица, вариационное решение

$$\hat{T}_{p \text{ vib,rot}} \rightarrow \begin{bmatrix} T_{\text{vib}} & T_{\text{vib,rot}} \\ T_{\text{vib,rot}} & T_{\text{rot}} \end{bmatrix}$$

Ababsa S., Zouchoune B.

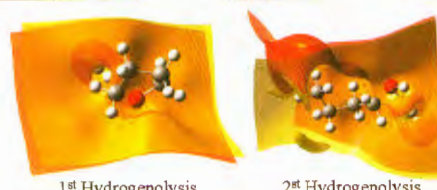
288

Electronic structure and relative stabilities of 10- and 12-vertex. *Closو- and nido*-heteroborane clusters of Ga, Ge and As elements



Keywords: boron-boron interactions, counting rules, atomic charges, heteroatom substitution

Koudjina S., Atohoun Y.G.S., Houngue M.T.A.K., Kuevi U.A., Kpotin G.A., Kanhounon W.G., Mensah J.B.



302

Modeling of oxolane hydrodeoxygenation in the presence of tungsten disulfide

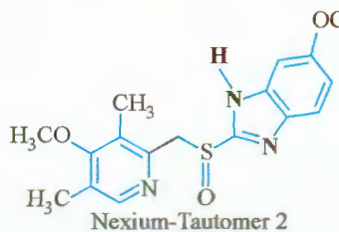
Keywords: oxolane, tungsten disulfide, hydrogenolysis, modeling, catalytic hydrotreating, DFT/B3LYP, 6-31G(d), LanL2DZ

ИНХ СО РАН
НОВОСИБИРСК

УЧРЕДЛЕНИЕ
2018 РОССИЙСКОЙ АКАДЕМИИ НАУК
БИБЛИОТЕКА
ПО ЕСТЕСТВЕННЫМ НАУКАМ РАН
Адрес: 119991, г. Москва, ГСП-1,
ул. Знаменка, 11/11

Solvent effect on equilibrium and rate constant of the tautomeric reaction in Nexium, Skelaxin, Aldara and Efavirenz drugs: A DFT study

Keywords: tautomer, solvent, density functional theory, RMSD, eyring

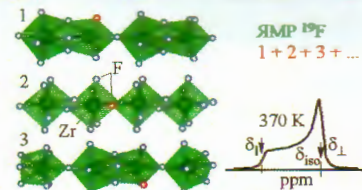


ИССЛЕДОВАНИЕ СТРОЕНИЯ МОЛЕКУЛ ФИЗИЧЕСКИМИ МЕТОДАМИ

Слободюк А.Б., Диденко Н.А., Кавун В.Я.

Фазовые переходы и ионная подвижность в твердых растворах в системе $(\text{NH}_4)_2\text{ZrF}_6-\text{InF}_3$

Ключевые слова: синтез, гексафторидоцирконат аммония, трифторид индия, твердые растворы, ионная подвижность, спектры ЯМР

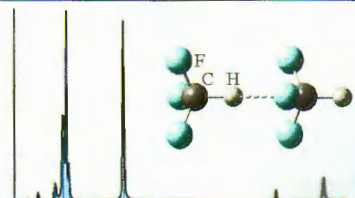


318

Гринвальд И.И., Калагаев И.Ю., Петухов А.Н., Грушевская А.И., Капустин Р.В., Воротынцев И.В.

Ассоциация галоформов в конденсированной и газовой фазе. ИК спектроскопия и неэмпирические расчеты

Ключевые слова: водородная связь, ИК спектроскопия, неэмпирические расчеты (DFT), галоформы

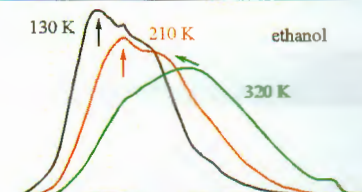


326

Зыкова В.А., Суровцев Н.В.

Структурные свойства стеклющихся этанола и глицерина по спектрам колебаний O—H

Ключевые слова: колебания O—H, структура стеклющихся жидкостей, локальные конфигурации, комбинационное рассеяние света

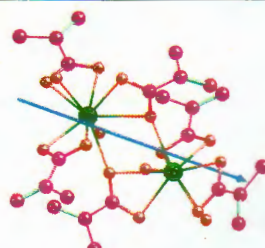


334

Курбатов И.А., Харченко В.И., Мирочник А.Г., Петроценкова Н.В., Жихарева П.А., Вовна В.И.

Колебательная структура метакрилатов европия(III) и лантана(III): исследование методами DFT и ИК спектроскопии

Ключевые слова: метакрилат европия(III), метакрилат лантана(III), биядерный комплекс, теория функционала плотности, квантовая химия, ИК спектры

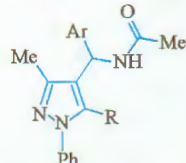


340

Vafaee A., Davoodnia A., Bozorgmehr M.R., Pordel M.

Characterization and molecular docking study of new 4-acetamidoalkyl pyrazoles as B-raf/COX-2 inhibitors

Keywords: synthesis, 4-acetamidoalkyl pyrazoles, molecular docking, B-raf/COX-2 inhibitors

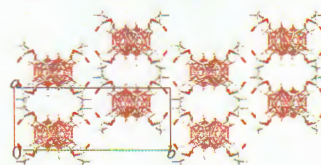


347

Suleimen Ye.M., Van Hecke K., Ibatayev Zh.A., Akatan K.

Crystal structure of 1,2-bis(acetoxyethyl)-o-carborane

Keywords: 1,2-bis(acetoxyethyl)-o-carborane, X-ray crystallographic analysis, NMR spectroscopy



356

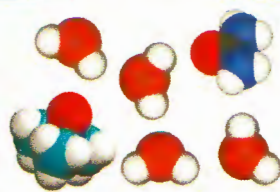
СТРУКТУРА ЖИДКОСТЕЙ И РАСТВОРОВ

Кадын Е.Д., Аникеенко А.В., Медведев Н.Н.

359

Строение водных растворов триметиламиноксида, мочевины и их смеси

Ключевые слова: молекулярно-динамическое моделирование, водные растворы, триметиламиноксид, мочевина, осмолиты-протекторы, денатуранты



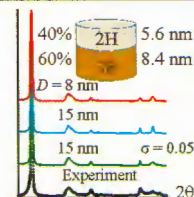
КРИСТАЛЛОХИМИЯ

Громилов С.А., Nikolaev P.E., Черепанова С.В.

368

Образование «сжатого» и смешаннослоистого графита при нагревании импактных алмазов

Ключевые слова: импактный алмаз, алмаз, лондстейлит, графит, сжатый графит, смешаннослоистый графит, турбостратное разупорядочение, моделирование

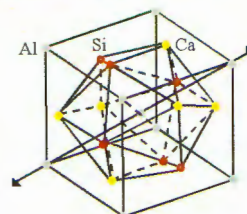


Борисов С.В., Магарилл С.А., Первухина Н.В.

378

Кристаллографический анализ структурного типа граната: симметрия в анатомии структуры

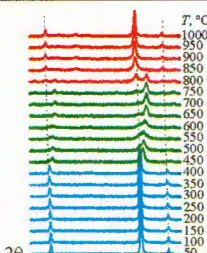
Ключевые слова: кристаллографическая стабильность, кристаллографический анализ, катионные подрешетки, когерентная сборка, структурный тип граната, структура β -W, менецезит



Венедиктова О.С., Булавченко О.А., Цырульников П.Г., Афонасенко Т.Н., Винокуров З.С., Цыбуля С.В.

384

Высокотемпературные дифракционные исследования процесса расслоения марганец-галлиевой шпинели состава $Mn_{1.5}Ga_{1.5}O_4$



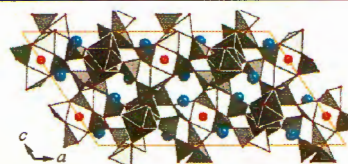
Ключевые слова: высокотемпературная рентгенография, фазовые превращения, марганецсодержащие двойные оксиды, марганец-галлиевая шпинель, алюмомарганцевая шпинель

Канева Е.В., Суворова Л.Ф., Таусон В.Л.

391

Кристаллические структуры новых синтезированных KDy- и KTb-алюмосиликатов

Ключевые слова: гидротермальный синтез, KREE-алюмосиликаты, кристаллическая структура



Романенко Г.В., Фурсова Е.Ю., Летягин Г.А., Овчаренко В.И.

398

Строение разнолигандного комплекса Ni(II) с 3-имиазолиновым нитроксилом, изо-пропанолом и водой

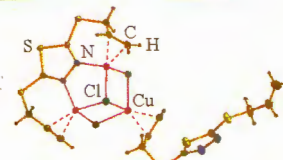


Ключевые слова: никель, 3-имиазолиновый нитроксил, пропанол, разнолигандный комплекс

Слывка Ю.И., Ардан Б.Р., Мыськів М.Г.

402

π -Комpleксы хлорида меди(I) с 2,5-бис(аллилтио)-1,3,4-тиадиазолом: синтез и особенности строения



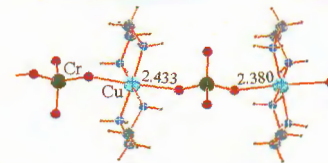
Ключевые слова: хлорид меди(I), π -комплекс, 1,3,4-тиадиазол, аллильное производное, кристаллическая структура

Сухих А.С., Храненко С.П., Громилов С.А.

409

Структура координационного полимера $[\text{Cu}(\text{En})_2\text{CrO}_4]_n$

Ключевые слова: бис-этилендиамин меди, хромат-анион, координационный полиздр, кристаллохимия, рентгеноструктурный анализ

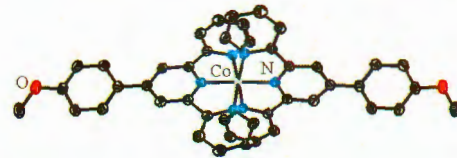


Fu W.-W., Shu X., Luo Y.-L., Tang Z.-Q., Li Q., Liu H.-J., Cheng Q.-W., Wang H.-Y., Liu Y.

412

New Co(II) and Mn(II) complexes with 4'-substituted 2,2':6',2"-terpyridine ligands

Keywords: Co(II) complex, Mn(II) complex, 4'-(4-methoxyphenyl)-2,2':6',2"-terpyridine, 4'-(4-aminophenyl)-2,2':6',2"-terpyridine, 4'-(furan-2-yl)-2,2':6',2"-terpyridine



Ibragimov A.B., Englert U., Ashurov J.M., Wang A.

425

Dimorphism of hexaaquanickel(II) bis(*p*-nitrobenzoate) dihydrate salt:

A new triclinic crystal form

Keywords: polymorphism, *p*-nitrobenzoic acid, Ni(II) complex, hexaaqua cation, crystal structure, X-ray crystallography

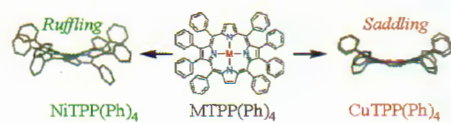


Bhyrappa P., Sankar M., Karunanithi K., Varghese B.

428

Highly nonplanar macrocyclic ring conformation in the crystal structures of Ni(II) and Cu(II) octaphenylporphyrins

Keywords: substituted porphyrin, octaphenylporphyrin, X-ray crystal structures, Hirshfeld surface analysis

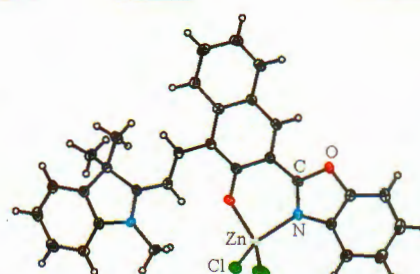


Ткачёв В.В., Утёнышев А.Н., Чернышев А.В., Ковальчукова О.В.

438

Особенности молекулярного строения нового комплекса 3-(бензо[d]оксазол-2-ил)-1-(2-(1,3,3- trimетилиндолин-2-илиден) этилиден) нафталин-2(1H)-она хлорида цинка

Ключевые слова: рентгеноструктурное исследование, спиропираны, 3-(бензо[d]оксазол-2-ил)-1-(2-(1,3,3- trimетилиндолин-2-илиден) этилиден)-нафталин-2(1H)-она хлорид цинка

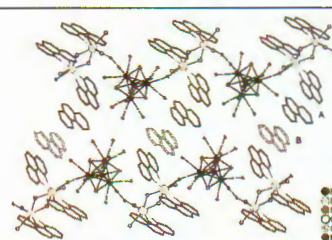


Литвинова Ю.М., Куратьева Н.В., Гайфулин Я.М., Миронов Ю.В.

442

Строение цепочечного координационного полимера $\{[\text{Nd}(\text{phen})_2(\text{H}_2\text{O})\text{Nd}(\text{phen})(\text{H}_2\text{O})_3(\mu-\text{OH})_2] \times [\text{Re}_4\text{S}_4(\text{CN})_{12}]\} \cdot \text{phen} \cdot 3.5\text{H}_2\text{O}$

Ключевые слова: синтез, кластеры рения, координационный полимер, лантаниды, кристаллическая структура

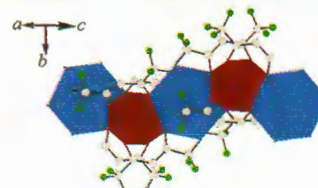


Уркасым кызы С., Шэнь Хуан, Мосягина С.А., Корольков И.В., Первухина Н.В., Крисюк В.В., Стабников П.А.

446

Кристаллическая структура двух β -дикетонатов самария и их свойства

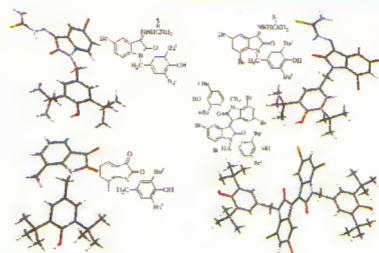
Ключевые слова: β -дикетонаты самария, кристаллическая структура, летучесть



Миронова Е.В., Богданов А.В., Нугуманова Г.Н.,
Бухаров С.В., Миронов В.Ф., Литвинов И.А.

Особенности кристаллической и молекулярной структуры производных индолин-2-она, содержащих стерически затрудненные фенольные фрагменты

Ключевые слова: изатин, индолин-2-оны, рентгеноструктурный анализ, кристаллическая и молекулярная структура, стерически загруженные фенолы, межмолекулярные взаимодействия

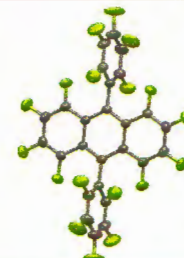


451

Гатилов Ю.В., Меженкова Т.В., Карпов В.М.

Рентгеноструктурное исследование перфтор-9,10-дифенилантрацена и перфтор-9,10-дифенилдигидроантраценов

Ключевые слова: перфтор-9,10-дифенилантрацен, перфтор-9,10-дифенилдигидроантрацен, рентгеноструктурный анализ, межмолекулярные взаимодействия, квантово-химические расчеты, супрамолекулярная архитектура



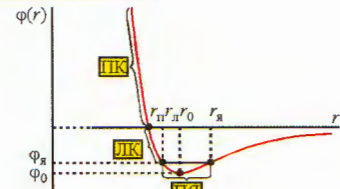
461

СУПРАМОЛЕКУЛЯРНЫЕ СОЕДИНЕНИЯ И НАНОРАЗМЕРНЫЕ СИСТЕМЫ

Малеев А.В., Геворгян А.А., Потехин К.А.

Новый подход к анализу молекулярных упаковок в кристаллах с использованием атом-атомных потенциалов

Ключевые слова: молекулярные кристаллы, молекулярные агломераты, атом-атомные потенциалы, потенциальная яма

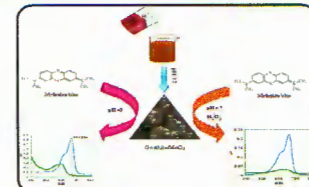


467

Sabbaghan M., Adhami F., Aminnezhad M.

Mesoporous jarosite/MnO₂ and goethite/MnO₂ nanocomposites: Synthesis and application for oxidation of methylene blue

Keywords: MnO₂, jarosite, goethite, Fenton-like catalyst, methylene blue



476

Aribi K., Ghelamallah M., Bellifa A., Granger P., Choukchou-Braham A.

Structural and textural modifications of ZrO₂ induced by La₂O₃ addition, thermal treatment and reducing process

Keywords: ZrO₂, La₂O₃, surface, structure, TPRH₂, pyrochlore oxide

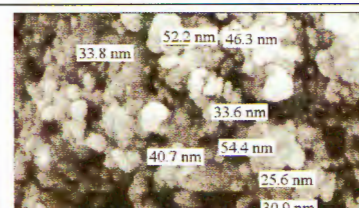


486

Fardood S. Taghavi, Ramazani A., Joo S.W.

Green chemistry approach for the synthesis of copper oxide nanoparticles using tragacanth gel and their structural characterization

Keywords: tragacanth gel, copper oxide nanoparticles, nanobiotechnology, natural hydrogel, sol-gel

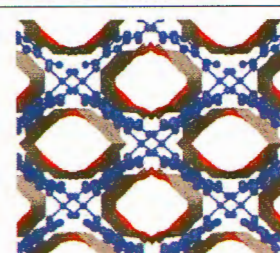


494

Сапьняник А.А., Семененко Е.Э., Самсоненко Д.Г., Дыбцев Д.Н., Федин В.П.

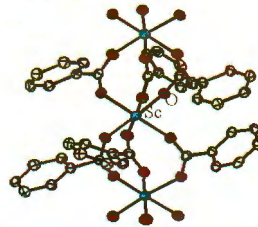
Кристаллическая структура координационных полимеров, полученных на основе гетерометаллического карбоксилатного комплекса

Ключевые слова: литий, цинк, координационные полимеры, металло-органические каркасы, полиядерные комплексы, карбоксилатные комплексы, рентгеноструктурный анализ



499

Чеплакова А.М., Федосеев И.С., Дороватовский П.В.,
Лазаренко В.А., Зубавичус Я.В., Хрусталев В.Н., Федин В.П.



505

Кристаллическая структура три(2,3,5,6-тетрафторбензоато)скандия $[\text{Sc}(\text{C}_6\text{F}_4\text{HCO}_2)_3]$

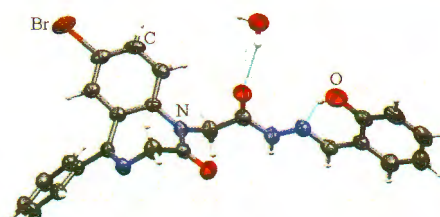
Ключевые слова: комплексы скандия, координационный полимер, тетрафтортерефталевая кислота, тетрафторбензойная кислота, кристаллическая структура

СТРУКТУРА БИОЛОГИЧЕСКИ АКТИВНЫХ СИСТЕМ

Пуля А.В., Сейфуллина И.И., Скороход Л.С.,
Павловский В.И., Кравцов В.Х., Богза С.Л., Суйков С.Ю.

**Молекулярная и кристаллическая структура
продукта конденсации 2-(7-бромо-2-оксо-5-фенил-
 $3H$ -1,4-бенздиазепин-1-ил)ацетогидразида (гидазепама)
с салициловым альдегидом**

Ключевые слова: синтез, 2-(7-бромо-2-оксо-5-фенил- $3H$ -1,4-бенздиазепин-1-ил)ацетогидразид, гидазепам, гидразон,
салациловый альдегид, молекулярная структура,
рентгеноструктурный анализ



509

Содержание следующего номера — в конце журнала